

05:07:10

©1995

## ОСОБЕННОСТИ ИМПУЛЬСНОЙ КАТОДОЛЮМИНЕСЦЕНЦИИ $HgI_2$

*В.И.Соломонов, Б.В.Шульгин, В.В.Осипов,  
Г.И.Пилипенко, С.Г.Михайлов, И.Ю.Суркова*

Исследована импульсная катодолюминесценция (ИКЛ) прямозонного полупроводника йодида ртути  $HgI_2$ , красной, тетрагональной модификации (пространственная группа  $D_{4h}^{15}-P4_2/n.m\bar{c}$  [1]), являющегося одним из первых соединений, в которых обнаружены экситоны [2]. Спектры фотoluminesценции (ФЛ) кристаллов  $HgI_2$  при 4.2 и 78 К впервые описаны в работе [3], а позже в [4,5]. Известна также катодолюминесценция (КЛ) пленок  $HgI_2$  при 100–400 К с максимумами при 560 и 618 нм, обусловленная дефектами решетки [1]. При  $T > 260$  К в спектрах КЛ  $HgI_2$  наблюдалась только одна полоса 618 нм. Во всех известных работах [1–5] интенсивная ФЛ и КЛ, а также экситонные и электрон-фононные эффекты наблюдались только при криогенной температуре. Применение нами для возбуждения люминесценции сильноточных импульсных электронных пучков [6] позволило обнаружить проявление эффектов электрон-фононного взаимодействия в кристаллах  $HgI_2$  при комнатной температуре и впервые обнаружить надкраевую люминесценцию этого соединения.

Мы исследовали кристаллы, выращенные Смирновым Ю.М. и Родионовой Г.Е. на кафедре прикладной физики Тверского государственного университета. Размеры полученных кристаллов от  $6 \times 6 \times 3$  до  $10 \times 10 \times 4$  мм. Для получения образцов кристаллы раскалывали по плоскостям спайности на пластинки толщиной 0.5–1 мм; поверхность пластин подвергали травлению в растворе йодида аммония, промывали в бидистиллированной воде и сушили на воздухе.

Спектр поглощения и пропускания образцов  $HgI_2$  измеряли на спектрофотометре "Specord-M400" при 300 К. ИКЛ возбуждали путем облучения образцов при 300 К в естественной воздушной среде электронным пучком с параметрами: средняя энергия электронов 160–200 кэВ, плотность электронного тока 200–400 А/см<sup>2</sup>, длительность импульса — 2 нс. Электронный пучок формировался малогабаритным ускорителем (600×300×250 мм) типа РАДАН-220. Спектр люминесценции шириной 150 нм в диапазоне 510–

660 нм регистрировали с помощью дифракционного полихроматора, состыкованного с многоканальным фотоприемником на базе ПЗС-линейки и адаптированного с компьютером. Абсолютная погрешность измерения длины волны отдельной спектральной линии, с учетом точности градуировки полихроматора, не превышала  $\pm 0.8$  нм. Регистрация спектра ИКЛ осуществлялась в двух основных режимах: 1) квазинепрерывная регистрация с автоматическим усреднением спектральной информации по 15 импульсам электронного пучка, следующим с частотой повторения 5 Гц, при времени экспозиции одного кадра  $T_e = 20$  и 200 мс. Такой режим подобен традиционному фотографированию спектра — измеряется экспозиционная доза спектральных линий и полос; 2) однокадровая (импульсная) регистрация спектра. Нами он реализовался при  $T_e = 1$  мс с синхронизацией начала регистрации по импульсу запуска ускорителя электронов в пределах  $\pm 1$  мс. Этот режим подобен аналоговому режиму работы ФЭУ. Для изучения кинетики ИКЛ световое излучение направлялось на монохроматор и регистрировалось ФЭУ-79, сигнал с которого анализировался цифровым осциллографом С9-8 с временным разрешением 50 нс.

Анализ спектров пропускания и поглощения показал, что край поглощения исследуемых образцов приходится на  $\lambda = 582-585$  нм. Спектры ИКЛ  $HgI_2$  носят явно выраженный линейчатый характер, особенно при малом  $T_e$  (рис. 1, а). Анализ этих спектров позволил выделить три группы линий, принадлежащих разным центрам ( $\lambda$ , нм):

|       |       |       |
|-------|-------|-------|
| 564.7 | 663.7 | 566.5 |
| 569.6 | 568.3 | 571.4 |
| 574.2 | 573.0 | 576.0 |
| 578.8 | 577.3 | 581.2 |
| 583.9 | 582.1 | 586.1 |
| 589.4 | 587.9 | 590.6 |
| 593.9 | 592.7 | 595.1 |
|       | 597.2 |       |

Ярко выраженная структура в каждой группе линий обусловлена электрон-фононным взаимодействием. Энергетическое расстояние между линиями для всех выделенных центров оказалось равным  $143 \text{ см}^{-1}$ , что соответствует фононам симметрии  $B_{1g}(\hbar\omega = 143 \text{ см}^{-1})$  [1] либо комбинации фонона симметрии  $A_{1g}(\hbar\omega = 114 \text{ см}^{-1})$  и фонона  $B_{1g}^2(\hbar\omega = 29 \text{ см}^{-1})$ .

По своему спектральному расположению ИКЛ йодида ртути носит краевой и надкраевой характер. Краевая и надкраевая ИКЛ наблюдались ранее только для образцов  $PbI_2$

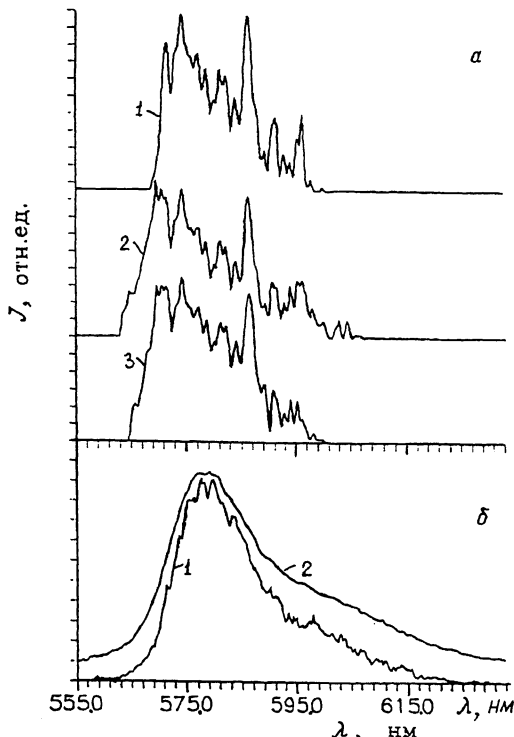


Рис. 1. Спектрограммы ИКЛ различных образцов 1, 2, 3 кристаллов  $HgI_2$  при времени экспозиции 1 мс (а) и образца 1 при времени экспозиции 1 — 20 и 2 — 200 мс (б).

и  $CdI_2$  и связывались с излучением метастабильных экситонов [7]. Для  $HgI_2$  надкраевая ИКЛ наблюдалась нами впервые. В отличие от  $PbI_2$  и  $CdI_2$  она может быть обусловлена рекомбинацией нерелаксированных электронов и дырок вблизи дефектов решетки с участием фононов.

Увеличение  $T_e$  до 20 мс приводит к размытию структуры спектров (рис. 1, б, кривая 1), а до 200 мс — к почти полному их сглаживанию (рис. 1, б, кривая 2). При этом характер люминесценции остается надкраевым с максимумом при 575–580 нм. Механизм сглаживания до конца не выяснен.

Исследование кинетики ИКЛ показало, что максимум интенсивности достигается вначале для коротковолновой части надкраевой люминесценции (рис. 2). Спад интенсивности носит экспоненциальный характер. Времена послесвечения ИКЛ, измеренные в надкраевой (574.0 и 570.3 нм) и подкраевой (596.8 нм) областях спектра оказались соответственно равными  $\tau = 2.14; 1.96$  и  $2.21$  мкс, что близко по величине к среднему времени жизни дырок  $\tau_h = 2.5$  мкс [8],

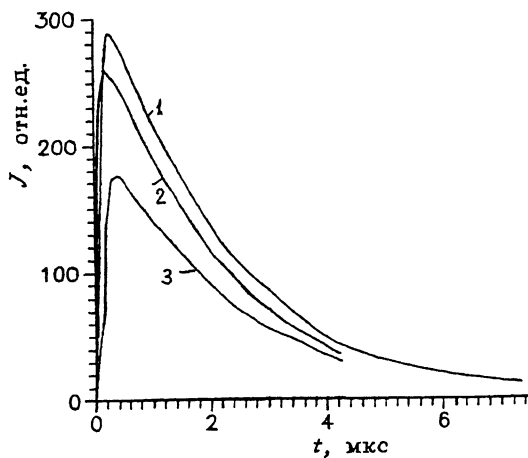


Рис. 2. Кинетика ИКЛ  $\text{HgI}_2$ : 1 —  $\lambda 574.0$ ; 2 —  $570.3$  и 3 —  $596.8$  нм.

время жизни электронов  $\tau_e = 1$  мкс. Близость  $\tau$  к  $\tau_h$  показывает, что особенности рекомбинационного акта нерелаксированных носителей заряда в  $\text{HgI}_2$  определяется дырочной компонентой.

### Выводы

При 300 К обнаружена обладающая развитой линейчатой структурой краевая и надкраевая ИКЛ кристаллов  $\text{HgI}_2$  с максимумом при 575–580 нм и длительностью послесвечения  $2.1 \pm 0.07$  мкс, которая обусловлена, по-видимому, излучательной рекомбинацией нерелаксированных электронов и дырок вблизи дефектов с участием фононов  $B_{1g}$  ( $143 \text{ см}^{-1}$ ) или комбинацией фононов симметрии  $A_{1g}$  ( $114 \text{ см}^{-1}$ ) и  $B_{1g}^2$  ( $29 \text{ см}^{-1}$ ).

В заключение авторы благодарят Ю.М. Смирнова и Г.Е. Родионову за предоставление образцов  $\text{HgI}_2$  для исследования и А.М. Халемского за поддержку в работе.

### Список литературы

- [1] Гайслер В.А., Залетин В.М., Лях Н.В., Ножкина И.Н., Фомин В.И. Диодид ртути. Новосибирск: Наука, 1984. 103 с.
- [2] Гросс Е.Ф., Каплянский А.А. // ЖТФ. 1955. Т. 25. В. 9. С. 1661–1663; ЖТФ. 1955. Т. 25. В. 12. С. 2062–2068.
- [3] Архангельская В.А., Феофилов П.П. // ДАН СССР. 1956. Т. 108. № 5. С. 803–806.
- [4] Горбань И.С., Рудько С.Н. // Опт. и спектр. 1962. Т. 12. В. 5. С. 610–615.
- [5] Акопян И.Х., Новиков В.В., Пимоненко М.М., Разбираин В.С. // Письма в ЖЭТФ. 1973. Т. 17. В. 8. С. 419–421.

- [6] Михайлов С.Г., Осипов В.В., Соломонов В.И. // ЖТФ. 1993. Т. 63. В. 2. С. 52–64.
- [7] Плеханов В.Г., Куусманн И.Л. // Труды ИФ АН ЭССР. 1976. В. 46. С. 81–95.
- [8] Горн Л.С., Хазанов Б.И. Современные приборы для измерения ионизирующих излучений. М.: Энергоатомиздат, 1989. 232 с.

Уральский государственный  
технический университет

Поступило в Редакцию  
9 февраля 1995 г.

---